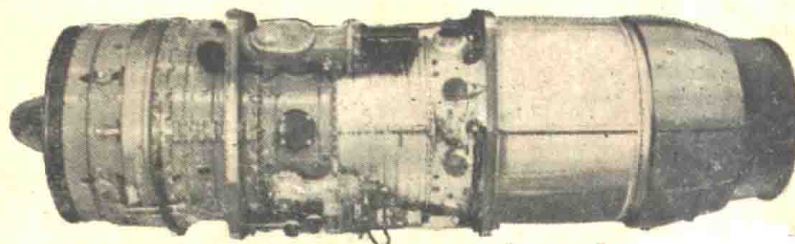


# 航空发动机 設計參考資料

奥林曾斯 (Olympus) BOL1型  
噴氣式发动机

北京航空学院发动机資料編輯室編



國防工業出版社

## 編者的話

自我国社会主义建設大跃进以来，随着农业的空前發展，  
科学、技术各个領域飛跃前进，我国航空科学工程党團領導，  
各有关部门間开展了共产主义大协作，且作出了巨大的成績。

为了有助于航空发动机的設計与教学工作，我室师生着手彙  
編一套有关发动机設計的參考資料。目前只選擇一些資本主义國  
家的航空发动机，作了分析研究，并依据資料繪出等比例的縱、  
橫剖面圖，由于資料不足，水平有限，某些結構又屬揣測而得，  
圖中尺寸亦多出于估計，故仅供作参考，書中某些問題分析敘述  
亦有不够透徹或錯誤之處，請讀者指正。

書中所述各机种的基本資料均选自英美等国杂志，因而其技  
术性能和构造形式的介紹，定有虛夸与失实之处，其設計主导思  
想亦多由最大限度地追求利潤及侵略戰爭出發，与我們社会主义  
国家設計思想根本不同。在編写过程中，我們虽尽力用批判态度，  
选其精华，弃其糟粕，仍希讀者在参考本書时，注意批判  
接受。

参加本書資料搜集，研究，和整理工作的有本院有关教研室  
教師及1958年毕业生。

在本書編輯中，蒙国际航空杂志編輯部，提供了許多資料，國  
防工业出版社对本書出版給予大力支持，我們謹致以衷心感謝。

北京航空学院发动机資料編輯室

1959年1月

## 目 录

第一章 总論 .....	3
§1. “奥林普斯”发动机的發展情况 .....	3
§2. B. OL. 1型发动机的主要参数 .....	6
§3. B. OL. 1型发动机的构造概述 .....	8
第二章 B. OL. 1型发动机的总体方案 .....	8
§1. 通道形式 .....	8
§2. 支承方式 .....	14
§3. 承力方式 .....	15
第三章 B. OL. 1型发动机的各部分构造 .....	15
§1. 进气道 .....	15
§2. 低压压缩机 .....	16
§3. 中間机匣 .....	19
§4. 高压压缩机 .....	20
§5. 燃燒室 .....	22
§6. 涡輪 .....	27
§7. 联軸器 .....	29
第四章 发动机系統 .....	31
§1. 冷却系統 .....	31
§2. 燃油系統和潤滑系統 .....	32
附录 I 双轉子（軸流式压缩机）发动机的特点 .....	33
附录 II BOL 1型发动机部分主要零件材料表 .....	36
参考资料 .....	36

## 第一章 总 論

“奧林普斯”發動机，是英國布列斯特(Bristol)航空發动机公司的产品，它是一种双轉子渦輪噴氣式發动机。为了适应远程轟炸机的要求，發动机需要低的燃料消耗率，因此，从热力学观点出發，就需要很高的压缩比。众所周知，普通單軸的高压縮比的軸流式压缩机，当工作状态变化时，在前面几級或后面几級上，会發生气流分离，則压缩机工作不稳定了，發生喘振現象，为了消除这种現象，所以“奧林普斯”發动机采用了双轉子的方案。

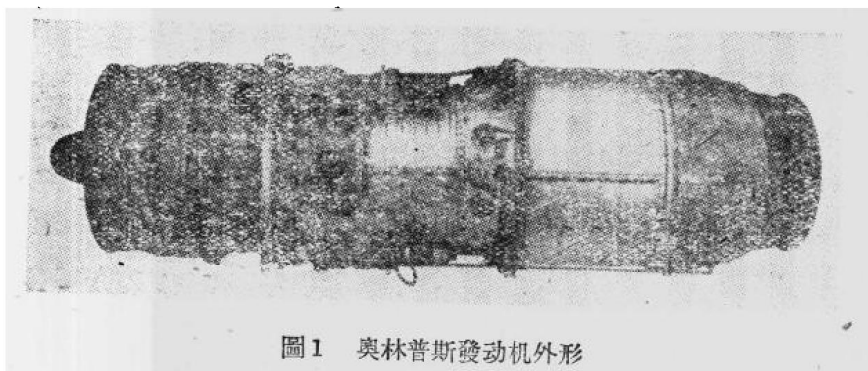


圖1 奧林普斯發动机外形

### § 1 “奧林普斯”發动机的發展情況

“奧林普斯”發动机的設計，于1946年就开始了，到1950年初，制成了第一台B.OL. 1型的發动机，1950年5月开始进行試車。但是这种型号，沒有得到进一步的發展。代替这种型号設計了第二种發动机B.OL. 2型，它的渦輪尺寸增大，压缩机采用另一种叶栅，其計算推力为4420公斤，重量稍輕于B.OL. 1型。

这种發动机于1950年11月作第一次試車，推力为4310公斤，但它沒有制成。后成为B.OL. 1/2c型發动机的雛形。

在这前一个月里，該公司与美国“奥爾邇斯萊特”(Curtiss-Wright) 公司簽訂了协定，为了适应美国公司的要求，把 B. OL. 1/2型改制成 B. OL. 1/2A型，其推力为 4420 公斤，压缩比为 9:1，空气流量为 74.9 公斤/秒，此发动机在美国叫做 J-67 型。

B. OL. 1/2B 型可以認為是“奥林普斯”发动机的第一台实际样品，在早期的方案中，某些附件是装在高压压缩机上面的，而目前在 B. OL. 1/2B 型发动机上，则把所有附件均装置在低压与高压压缩机之間的中間过渡机匣上，这种安置方法，使得附件离开了压缩机后部的高温部分而移到了較冷的地方。B. OL. 1/2B 型发动机于 1951 年 12 月末进行了第一次試車，推力为 4442 公斤，燃料消耗率为 0.766 公斤/公斤推力小时，这是相当低的，重量也降低为 1470 公斤。1952 年 8 月 B. OL. 1/2B 型发动机在“康別拉”(Camberra B. 2.) 飞机上进行了第一次試飞，发动机推力从計算的 4420 公斤减少到 3630 公斤，这种发动机的牌号为 MK-99。

为了使 B. OL. 1/2B 型发动机的附件适合“符尔亢”(Vulcan) 飞机于 1952 年后的一段時間內对該发动机外部加以改变而成为 MK-100，并在 1953 年 1 月进行了初次試車，推力为 4200 公斤，同年 9 月在“符尔亢”(Vulcan VX 777) 飞机上进行了第一次飞行試驗，从开始設計到試飞几乎經過了 7 年之久，由此可見，在沒落的資本主义国家中，航空发动机技术方面的發展是相当緩慢的。

1953 年 5 月 4 日 MK-99 型装在“康別拉”飞机上作飞行試驗时上升达到 19406 米的高空，这是由于“奥林普斯”发动机具有大推力的結果，同时也是說明了高压縮比的优点。

这种发动机同时發展成为 B. OL. 1/2C 型发动机，該发动机于 1952 年 10 月 30 日进行了第一次試驗，其外部和 B. OL. 1/2B 型相似，但机匣后部具有較大的直徑，显然这是由于渦輪具有較大的直徑所引起的，其推力增加到 4990 公斤，燃料消耗率降低到 0.761 公斤/公斤推力小时，B. OL. 1/2C 型发动机外部凸緣上，

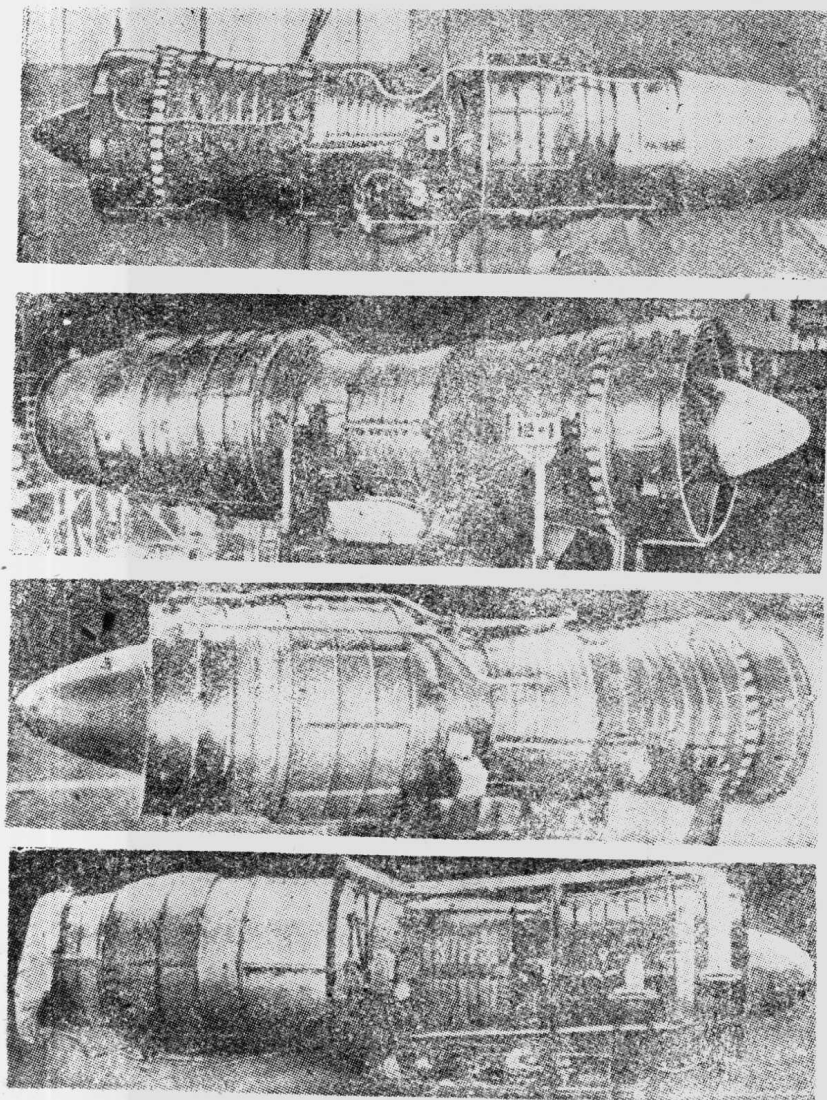


圖2 各批奧林普斯發动机

有較大的螺栓，這說明其內部壓力很高，這種發动机是第一台經過了150小時試車的“奧林普斯”發动机。1954年12月MK-101型發动机進行了試驗，它也有推力4990公斤，但其構造上有某些改變。

6 奥林普斯发动机推力值如下：

序号	型号	地面推力 $R_0$ (公斤)	备注
1	B.OL.1	4150	
2	B.OL.2	4420	
3	B.OL.1/2	4420	
4	B.OL.1/2A	4420	即为 J-67
5	B.OL.1/2B	4420	即为 MK-99
6		4420	即为 MK-100
7	B.OL.1/2C	4990	即为 MK-101
8	B.OL.6	7250	即为 MK-200
9	B.OL.11	5447	即为 MK-102
10	B.OL.12	5900	即为 MK-104

## § 2 B.OL.1型发动机的主要参数

推力  $R_0 = 4150$  公斤；

燃料消耗率  $C_{y\partial o} = 0.83$  公斤/公斤推力小时；

压缩比  $\pi_{ko}^* = 9$ ；

外径  $D = 1015$  毫米；

重量  $W = 1630$  公斤；

空气流量  $G_B = 70$  公斤/秒；

涡轮前温度  $T_s^* = 1075^\circ K$  (绝对)。

其中空气流量  $G_B$ , 涡轮前温度  $T_s^*$  是在假定：

压气机绝热效率  $\eta_{kao}^* = 0.85$ ；

涡轮绝热效率  $\eta_{mao}^* = 0.9$ ；

机械效率  $\eta_m = 0.99$ 。

并且在满足  $R_0$ 、 $C_{y\partial o}$  的数值下，将其计算出来的。这样对  $T_s^*$  的估计是合理的，因为该发动机的特点，是满足低的燃料消耗率，在涡轮喷气发动机上  $T_s^*$  增高，对燃料消耗率是不利的，并且在当时，布列斯特公司尚无更好的耐高温材料，因之该公司出产的其他发动机的  $T_s^*$  也是较低的，例如 Proteus 700 发动机的  $T_s^*$  为  $1120^\circ K$ , Orion发动机的  $T_s^*$  为  $1035^\circ K$ ，这两种发动机均为涡轮螺旋桨发动机，采用较高的  $T_s^*$ ，对提高功率与降低燃料消耗

率都是有利的，但其仍然采用了較低的  $T_s^*$  值，可見是与該公司当时所掌握的耐高溫材料情況有关。下面的参数，也是在滿足上述参数的条件下，通过热力計算和气动計算得出来的：

轉速：起飞时 第一轉子（低压） $n_{k1} = 6500$ 轉/分；

第二轉子（高压） $n_{k2} = 8500$ 轉/分；

慢車時 第一轉子  $n'_{k1} = 2500$ 轉/分；

第二轉子  $n'_{k2} = 5000$ 轉/分。

起飞时  $\frac{n_{k1}}{n_{k2}} = 1.3$ 。

压缩比的分配：

低壓压缩机为  $\pi_{k1}^* = 2.9$ ；

高壓压缩机为  $\pi_{k2}^* = 3.0$ 。

分配时，尽量使高压、低压压缩机分別各由一級渦輪来带动，在渦輪中热焓降分别为：

高压渦輪  $h_{z1}^* = 50$ 大卡/公斤；

低压渦輪  $h_{z2}^* = 35$ 大卡/公斤。

这样大的热焓降，完全可以分別由一級渦輪来完成。

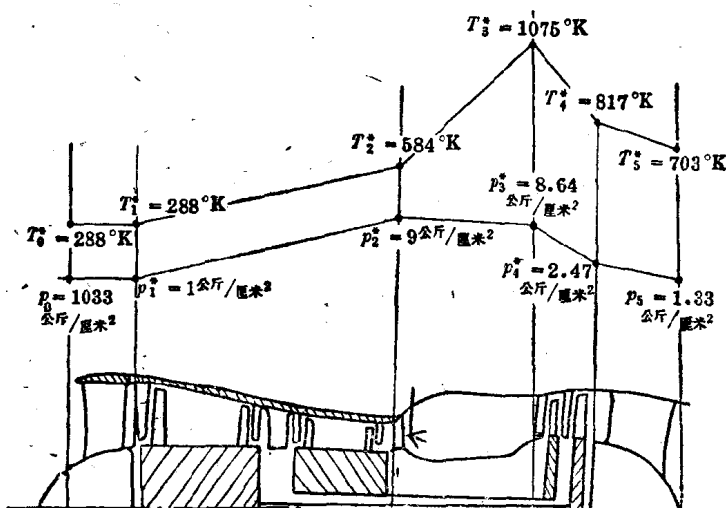


圖 3 發动机各通道断面气流参数变化

### § 3 B. OL. 1型發动机的构造概述

B. OL. 1型發动机的低压压縮机为6級，高压压縮机为8級，根据圖2的照片，可以断定以后各批，以致一直到B. OL. 1/2C型發动机都保持着同样的构造，空气从压縮机中流出来，进入由10个火焰筒組成的联管式燃燒室，与燃油混合，进行燃燒，再流入分别为單級的高压、低压渦輪，此高压、低压渦輪分別带动高压、低压压縮机的轉子，燃气从渦輪流出来，再进入尾噴筒，以高速自尾噴口噴射出去，使發动机产生巨大的推力。

B. OL. 1型發动机的构造，如圖4所示。

## 第二章 B.OL.1型發发动机的总体方案

“奥林普斯”發发动机，为了获得高压縮比与优良的性能，采用了双轉子的方案，如圖5所示。

### · § 1 通道形式

1. 低压压縮机的气流通道形式：在高压压縮机中的气流密度比低压压縮机中的要大很多。为了在高压压縮机中，得到較長的叶片，使压縮机的效率提高，一般是使高压轉子的轉速  $n_{k2}$  大于低压轉子的轉速  $n_{k1}$ ，結果在相同的切綫速度下，高压压縮机外徑  $D_{k2}$  就小于低压压縮机的外徑  $D_{k1}$ ，使高压压縮机的出口，仍然具有較長的叶片。

为了使發发动机的整个通道平滑，流动损失少，通常把低压压縮机的外徑作成收斂的，这台發发动机用的是內徑  $D_{bm} =$  常数的通道形式，这就使得由低压过渡到高压压縮机时，其通道很平坦，同时由于各級的內徑相同，使得整个轉子的輪盤加工性很好。当然用內徑  $D_{bm} =$  常数的通道形式，由于各級的加功量減少了，在相同的压缩比  $T_{ik}^*$  的条件下，要用較多的級数，因而使得加工量与重量

原书缺页

原  
书  
缺  
页

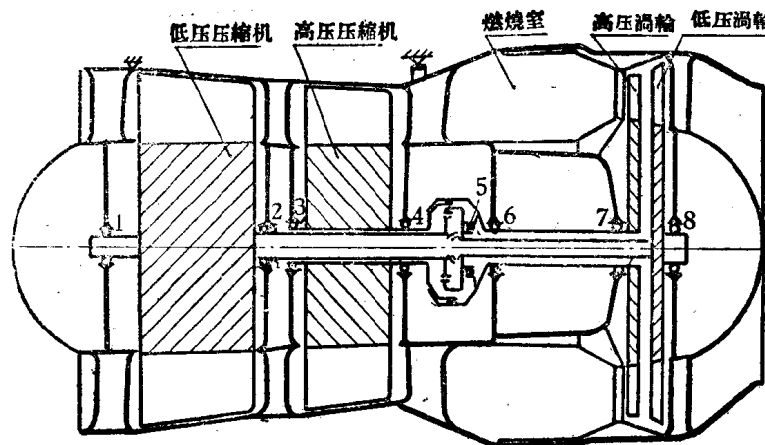
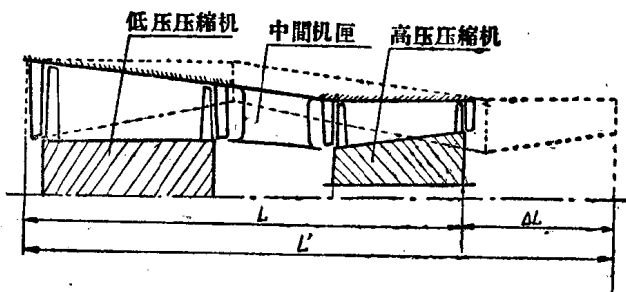


圖 5 整体方案

增大。这是它的缺点。为了使級数增加較少，也可以采用平均直徑  $D_{cp} = \text{常数}$  的通道形式，但是不采用外徑  $D_k = \text{常数}$  的通道形式，因为这样使得由低压过渡到高压压气机时，外徑相差很多。为了得到較平滑的通道，就必须大大加長中間机匣，这样也使發动机的長度与重量增加很多。如圖 6 所示。

圖 6  $D_{k1} = \text{常数}$  与  $D_{bm1} = \text{常数}$  的二种通道的比較

—— 内徑  $D_{bm1} = \text{常数}$  的低压压缩机

—— 外徑  $D_{k1} = \text{常数}$  的低压压缩机

另外，采用外徑收斂的通道形式，在外徑收縮后，可以把附件安装在他的上面，而不致突出到发动机其他部分直徑的外面，加大了发动机的外徑，这样把发动机的最大外廓尺寸，就充分地

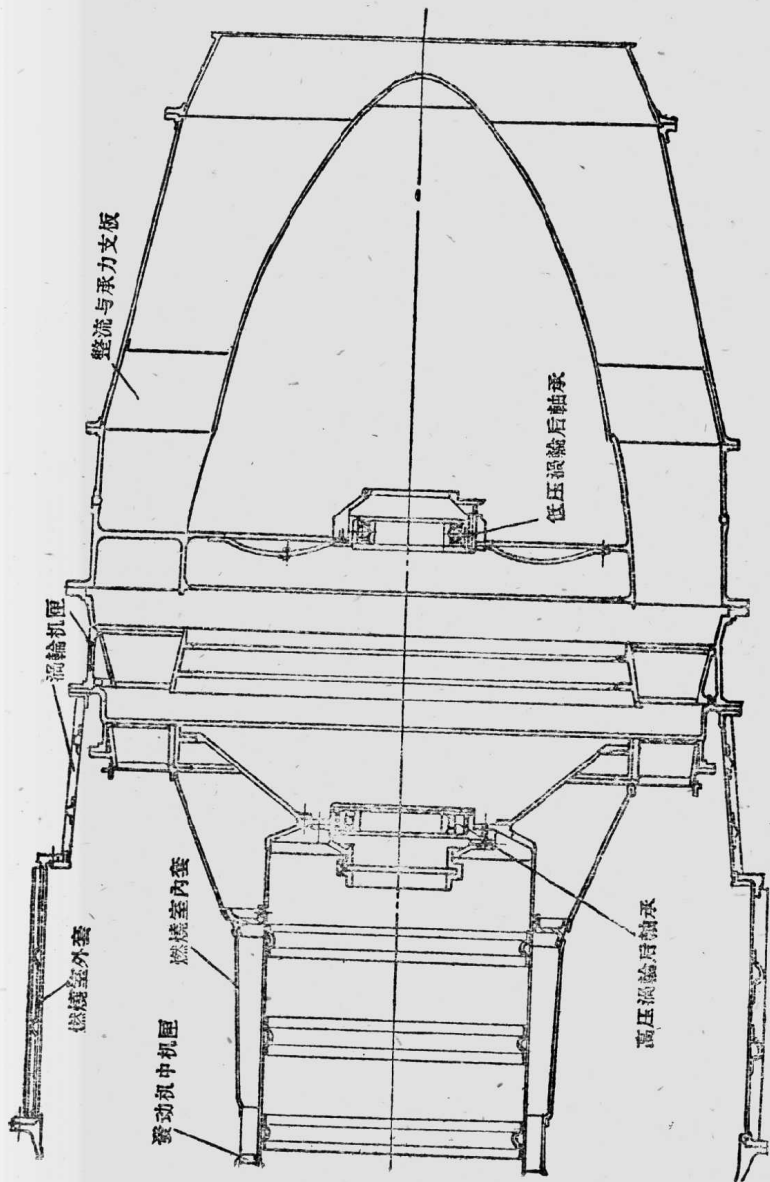


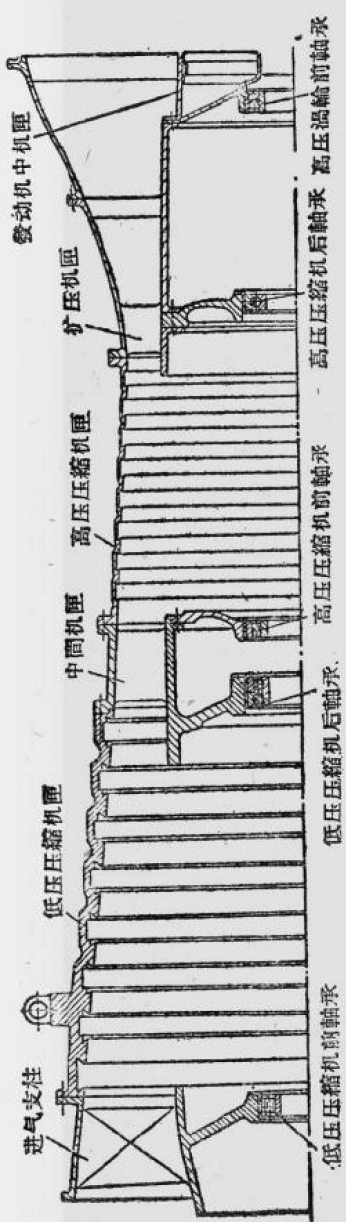
圖 7a 承力系統圖

利用了。

2. 高压压缩机的通道形式也是采用内径  $D_{st2}$  = 常数的通道形式。由于其转速比低压转子的转速高，亦即是在相同的切线速度下，高压压缩机的外径  $D_{k2}$  也比低压压缩机的外径  $D_{k1}$  小很多，所以其出口的叶片相当高，没有必要采用外径收敛的通道形式了。但一般可以采用外径  $D_{k2}$  = 常数的通道形式，使其每级的加功量较大，在满足同样的压缩比  $\pi_{k2}^*$  的条件下，级数可以减少，重量可以较轻，同时，由于燃烧室的直径相当大，一般已经大于高压压缩机进口处的外径  $D_{k2}$ ，如果使其外径往后再缩小，则气流自压缩机出来，进入到燃烧室时，要转较大的弯，使流动损失增大。另外，由于附件可以安装在从低压过渡到高压压缩机的中间机匣上，所以把外径作成收敛形式，对安装附件也没有什么必要。

### 3. 涡轮通道形式：采

圖 76 承力系統



用的是平均直徑  $D_{cp} = \text{常数}$  的通道形式。这是为了能够获得較高的效率。

## § 2 支承方式

發动机內的二个轉子，共有四个轉动的部件，分別由 8 个軸承來支持，在低压、高压压缩机轉子的前后，均有軸承支点；在高压渦輪前、低压渦輪后，各有一軸承支点；在二轉子的中間聯軸器上，又分別有二个軸承支点，以提高軸的临界轉速。

止推軸承位置的决定：在低压、高压压缩机轉子的后面，均为止推軸承，这是由于压缩机的通道形式，均为內徑  $D_{sm} = \text{常数}$ ，而外徑为收斂的通道形式，在工作时，因为溫度升高，轉子膨胀与机匣的膨胀不相同，接軸向發生相对位移，增大了叶片尖端与机匣的徑向間隙，使漏气損失增大，压缩机的效率降低。为了保証压缩机在工作时，具有較高效率，所以把止推軸承均放置在靠近压缩机出口而叶片較短的地方，这样在工作时，短叶片处的叶尖徑向間隙变化就極小，不致引起压缩机的效率降低。然而这样的安排，就使在前面进口处的叶尖徑向間隙的变化較大了，但是由于其叶片很長，叶尖的漏气損失影响并不大。另外高压压缩机与高压渦輪合用一个止推軸承，故必須用聯軸器，把压缩机与渦輪的轉子联接起来，这样就使得压缩机轉子向前的軸向力部分地被渦輪向后的軸向力所抵消。而低压轉子，由于其聯軸器要从高压轉子的軸內面通过，在构造上很难将其压缩机与渦輪不同方向的軸向力联系起来相抵消。只有分別由各自的止推軸承來承受，所以在低压渦輪轉子后面，为一止推軸承（如圖 7 a 所示）。

上面叙述的是發动机的 8 个主軸承，分別支持着二个轉子的四个轉动的部件。这些轉动部件，在整个發动机装配之前，可以分別进行动平衡。軸承的这样分布不仅使二个轉子的渦輪和压缩机分別傳动成为可能，并且可以使發动机壳体和轉动部件能够相对热膨胀。

### § 3 承力方式

二个轉子，均有自己單獨的支持軸承，轉子上的負荷作用在軸承上，再由机匣傳到發动机的安装节上，这台發动机的主要安装节装在扩散器机匣上。在其前面的进气机匣上有一輔助安装节，壓縮机轉子的負荷分別由其支柱与壓縮机匣来承受与傳遞。而渦輪轉子的負荷，由于支持軸承的位置不相同，其負荷的承受与傳遞路線則不相同。高压渦輪的負荷，是由內机匣承受与傳遞的，而低压渦輪的負荷，则由外壳机匣承受与傳遞，如圖 7 6 所示。

## 第三章 B.OL.1型發动机的各部分构造

“奥林普斯”B.OL.1型發动机的各部分构造如書末縱橫剖面构造圖所示。由于它是屬於双轉子类型的發动机，所以低压与高压压縮机的長度，占了整台發动机总長度的一半，其压縮机是由五部分組成：进气机匣、低压压縮机、中間机匣、高压压縮机和扩散器。

現在把發动机的各部分构造分別叙述如下：

### § 1 进气道

进气机匣是由鎂鋁合金鑄成，有8个徑向流線型支柱，并且由軸向二部分組成，中間裝有低压压縮机之前滾棒軸承。在前整流錐体内裝有發电机，空气經整流錐以环形流入压縮机进口。

压縮机匣所以要軸向分开，是因为可以使空心的支柱，由两半合成，则可以用金屬硬模來鑄造此机匣，使生产率高，成本低。

又如用电动起动机来带动高压轉子起动时（如轟炸机，运输机上用），则可以把整流錐下的發电机省去，在此处之空間可以想法作其他附設装置，如可以做个小型燃燒室，作为进口部分防冰

之用。

## § 2 低压压缩机

共为 6 个轮盘，由 RR58 铝合金制成的，用 8 根长螺栓轴向地拉紧，在长螺栓外面以空心套来定中心和传递扭矩（轮盘间），其两端有二个由 S. 96 钢制成的碟形盘，分别用螺栓与压缩机前、后轴凸边联结在一起。前碟形盘上端压紧在压缩机盘上端的叶根部分处，后碟形盘则只压在轮盘上（如图 8 所示）。

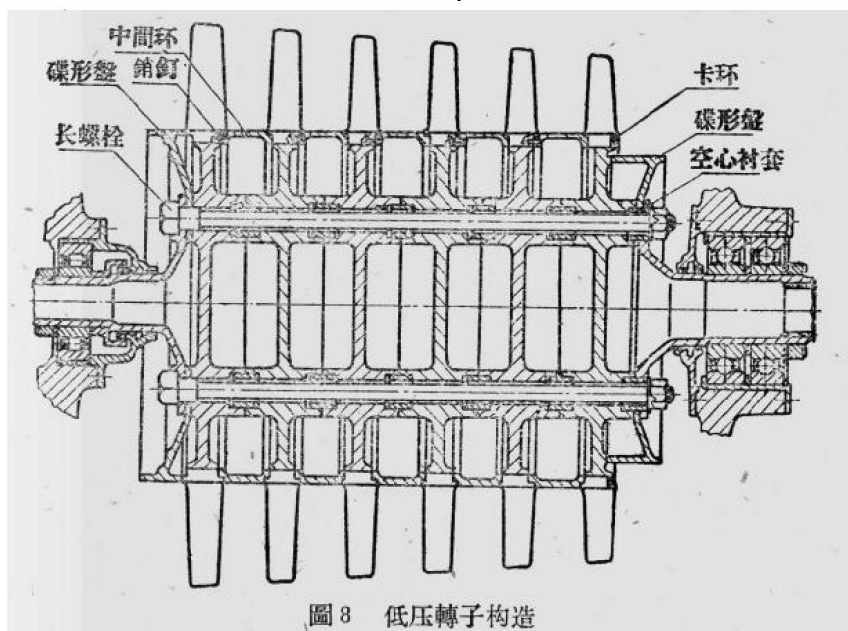


圖 8 低压轉子构造

这种传递扭矩和联结的方法是采用普鲁士发动机压缩机的联结办法，因为有了生产的经验，而在“奥林普斯”上可以使盘子上不打孔，不致减弱轮盘的强度，而使重量较轻，并且因为内径  $D_{bm}$  = 常数，故轮盘之间的鼓环都在一定的半径上，所以其构造简单，并且装配亦不太麻烦。但在加工轮盘上用以和空心套筒配合的孔时，由于不能将二盘一起进行铰孔，因此比较困难的，但可以用一专用夹具来保证其相互位置的准确度。